

Нелинейная динамика тяжелого сжимаемого газа в приближении мелкой воды

Петросян А.С, Карельский К.В, Черняк А.В.
5768687@gmail.com

501 сектор
Институт Космических Исследований РАН

Таруса, 20 октября 2011

Содержание

1. Введение.
2. Исходная система уравнений движения тяжелого сжимаемого газа со свободной поверхностью.
3. Осредненная система уравнений – мелкая вода.
4. Постановка задачи Римана.
5. Решение Задачи Римана.
6. Анализ результатов.
7. Наклонная поверхность.
8. Заключение.

1. Статическая сжимаемость

Сжимаемость (Gauthier, Creurer):

- динамическая (акустические эффекты)
 $M \geq 1$ или высокочастотные колебания

- статическая (стратификация)

$$H \sim O(H_S), H_S = \left(\frac{1}{\rho} \frac{d\rho}{dz} \right)^{-1} - \text{приведенная высота.}$$

На этой высоте плотностная стратификация становится **существенной** (Batchelor «Введение в динамику жидкости»)

1. Применение

- Крупномасштабные атмосферные\океанические течения с высотой\глубиной порядка H_S .
- движениях воздуха с частицами пыли или песка (Huppert, compressible-driven gravity currents), океанические течения с илом.
- Вулканы, пирокластические течения (Dobran, Neri. Numerical simulation of collapsing volcanic columns. Jaupart, C. 1991 Effects on compressibility on the flow of lava. Bull. Volcanol. 54, 1–9)
- Песчаные бури на Марсе (Parsons 2000, Are fast-growing Martian dust storms compressible?)

2. Исходная система уравнений движения тяжелого сжимаемого газа со свободной поверхностью.

- Уравнения движения Эйлера в поле силы тяжести
- Политропный совершенный сжимаемый газ, непрерывные процессы адиабатические.

$$\left\{ \begin{array}{l} \rho \frac{du}{dt} = -\frac{\partial p}{\partial x} \\ \rho \frac{dw}{dt} = -\frac{\partial p}{\partial z} - \rho g \\ \frac{\partial \rho}{\partial t} + \frac{\partial(\rho u)}{\partial x} + \frac{\partial(\rho w)}{\partial z} = 0 \end{array} \right. \quad \left\{ \begin{array}{l} p = \rho RT \\ E = c_v T \\ dE = -pd \left(\frac{1}{\rho} \right) \end{array} \right.$$

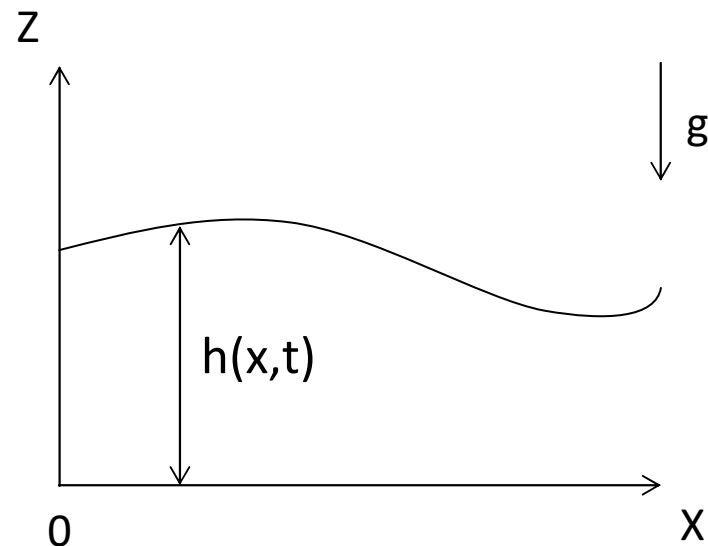
3. Приближение мелкой воды.

- Слой газа высоты $h(x,t)$
- Гидростатическое распределение давления, $\frac{H}{L} \ll 1$
- Граничные условия непротекания:

$$\begin{cases} w|_{z=0} = 0 \\ w|_{z=h} = \frac{\partial h}{\partial t} + u|_{z=h} \frac{\partial h}{\partial x} \end{cases}$$

- Заданные p , T на свободной поверхности

$$\begin{cases} p|_{z=h} = p_a \\ T|_{z=h} = T_a \end{cases}$$



3. Осредненные уравнения по высоте

- Масштабы: высота h_0 , скорость $\sqrt{gh_0}$
время $\sqrt{\frac{h_0}{g}}$, плотность ρ_i , температура T_i

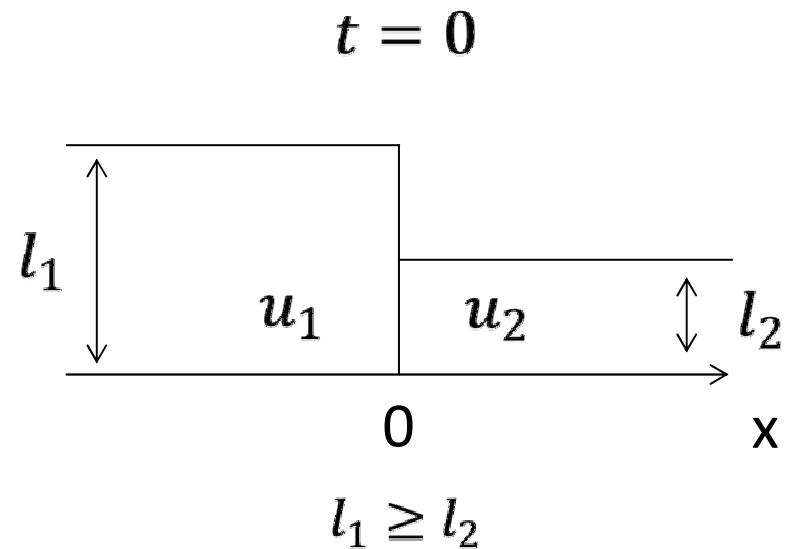
$$\left\{ \begin{array}{l} \frac{\partial l}{\partial t} + \frac{\partial(lu)}{\partial x} = 0 \\ \frac{\partial u}{\partial t} + \frac{a^2}{l} \frac{\partial l}{\partial x} + u \frac{\partial u}{\partial x} = 0 \end{array} \right. \quad \begin{array}{l} l \equiv \frac{1}{B} \left[\left(1 + h \cdot \frac{B}{A} \right)^A - 1 \right] = h \bar{\rho} \\ a \equiv \sqrt{l \left(1 + l \cdot B \right)^{\frac{1-A}{A}}} \end{array}$$

$$A = \frac{\gamma}{\gamma - 1} \quad B = \frac{h_0}{H_s} \quad H_s = \frac{RT_i}{g}$$

4. Постановка задачи Римана.

- Заданы кусочно-постоянные начальные условия l_i, u_i при $x > 0$ и $x < 0$
- Определить течение при $t > 0$

$$\begin{cases} \frac{\partial l}{\partial t} + \frac{\partial(lu)}{\partial x} = 0 \\ \frac{\partial u}{\partial t} + \frac{a^2}{l} \frac{\partial l}{\partial x} + u \frac{\partial u}{\partial x} = 0 \end{cases}$$



5. Решение Задачи Римана.

1. Нахождение всех автомодельных непрерывных решений – центрированные волны Римана.
2. Разрывные решения. Соотношения Ранкина-Гюгонио. Ударные волны.
3. «Конструирование» решения по начальным условиям

5. Непрерывные решения. Простые волны Римана

$$\begin{cases} d(u + \psi(l)) = 0, \frac{dx}{dt} = u + a(l) \\ d(u - \psi(l)) = 0, \frac{dx}{dt} = u - a(l) \end{cases} \quad \psi(x, t) \equiv \psi(l) \equiv \int \frac{a(l)}{l} dl$$

- Инварианты Римана

$$\begin{cases} r = u + \psi(l) \\ s = u - \psi(l) \end{cases} \quad \begin{cases} u = \frac{r + s}{2} \\ \psi(l) = \frac{r - s}{2} \end{cases}$$

- Волны Римана, прямые характеристики

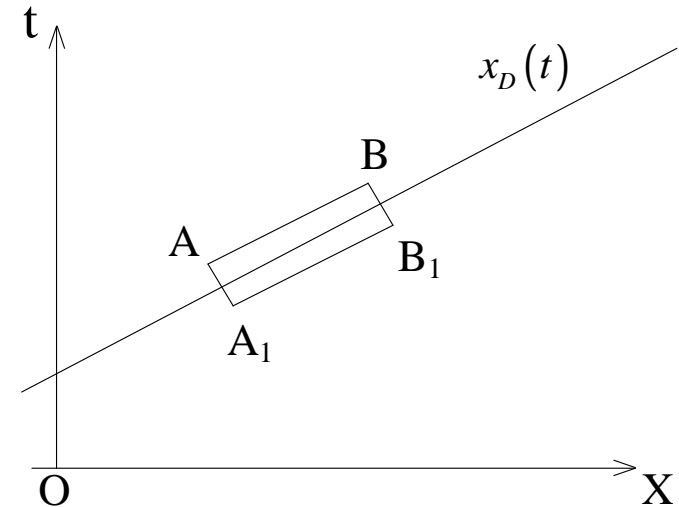
5. Разрывные решения. Соотношения Ранкина-Гюгонио. Ударные волны.

- У.В. Распространяется по газу с параметрами 1, оставляя позади газ с параметрами 2

$$\left\{ \begin{array}{l} D = \frac{l_2 u_2 - l_1 u_1}{l_2 - l_1} \\ u_2 = u_1 + \text{Sign}(D - u_1) \sqrt{(\varphi(l_2) - \varphi(l_1)) \left(\frac{1}{l_1} - \frac{1}{l_2} \right)} \\ l_2 \geq l_1 \end{array} \right.$$

$$\varphi(l) = \int a^2 dl$$

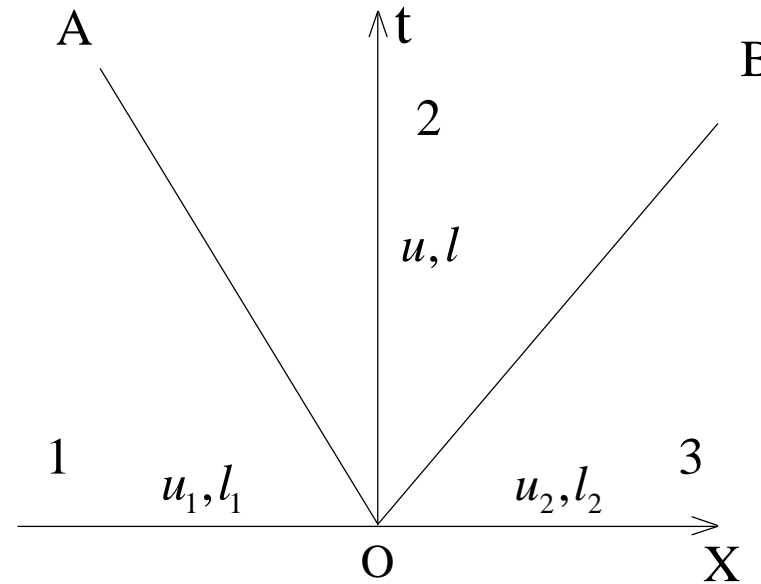
$$= \frac{A^2}{B^2} \frac{1}{(1+A)} (1 + l \cdot B)^{\frac{1}{A}} \left(l \cdot \frac{B}{A} - 1 \right)$$



5. «Конструирование» решения по начальным условиям

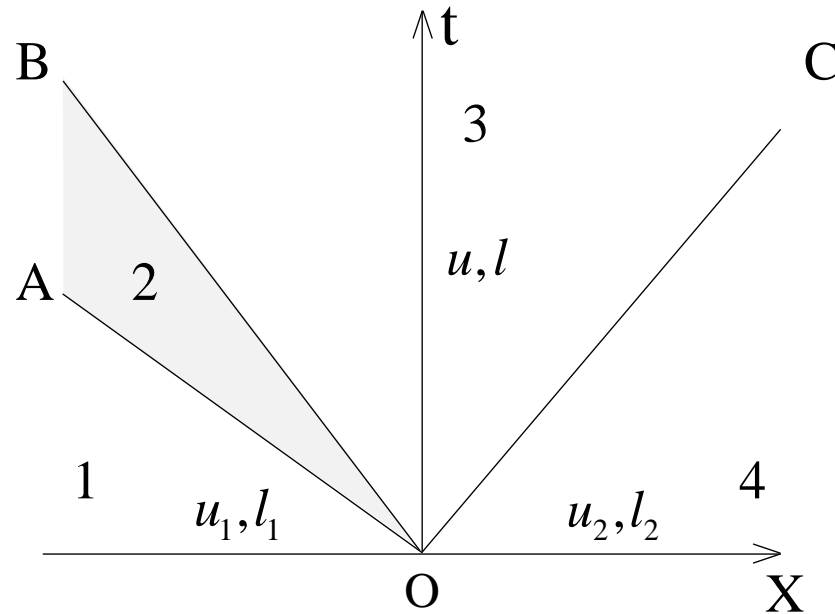
1. Система уравнений и интегральные следствия (соотношения Ранкина-Гюгонио) инвариантны относительно замены
Значит, если решение единственно и существует – то оно автомодельно.
2. Существует автомодельное решение – строим его.

5. Автомодельное решение. две ударные волны



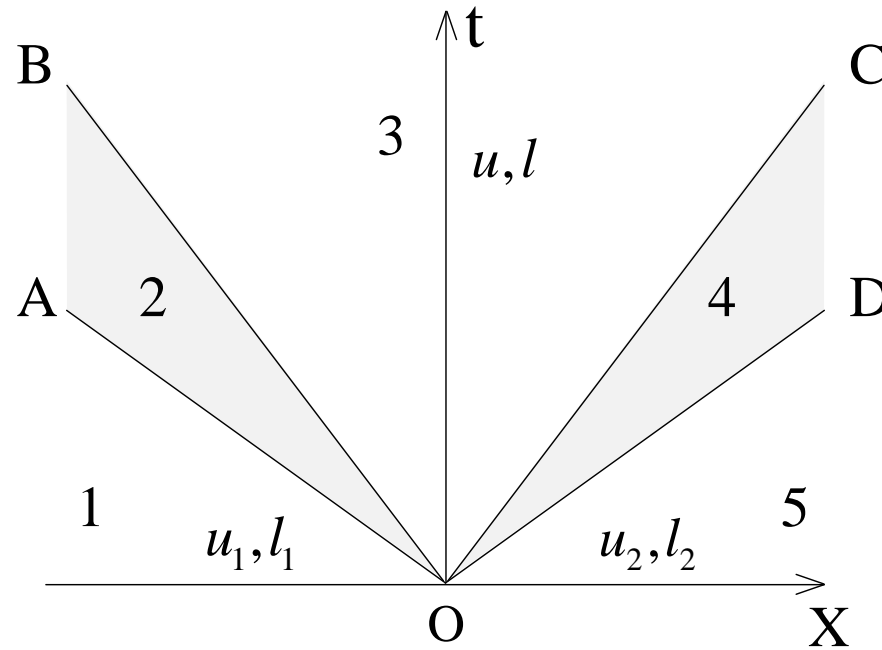
$$u_1 - u_2 \geq \sqrt{(\varphi(l_1) - \varphi(l_2)) \left(\frac{1}{l_2} - \frac{1}{l_1} \right)}$$

5. Автомодельное решение. волна разрежения – ударная волна



$$-(\psi(l_1) - \psi(l_2)) \leq u_1 - u_2 \leq \sqrt{(\varphi(l_1) - \varphi(l_2)) \left(\frac{1}{l_2} - \frac{1}{l_1} \right)}$$

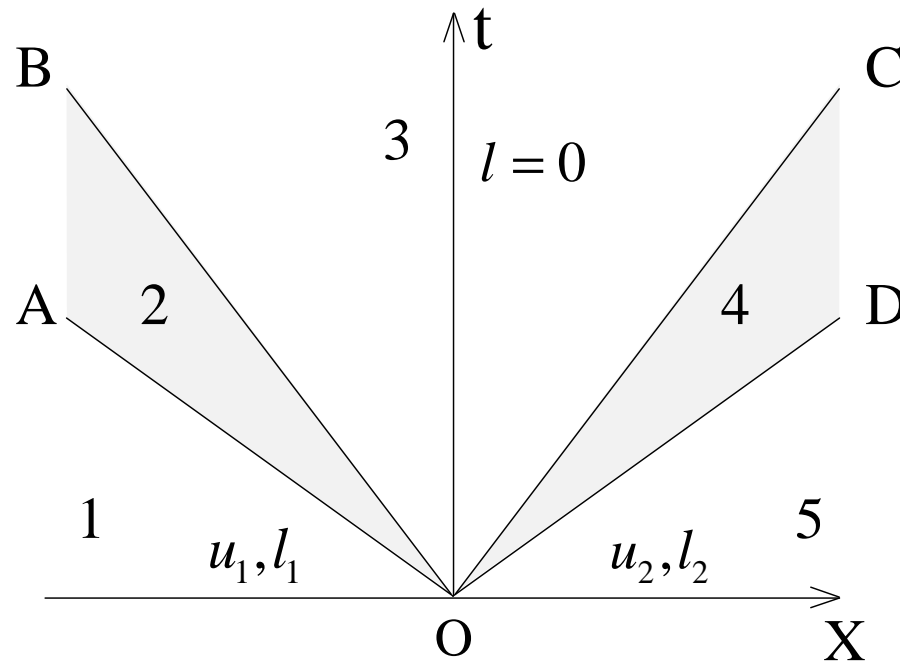
5. Автомодельное решение. Две волны разрежения



$$-(\psi(l_1) + \psi(l_2)) < u_1 - u_2 \leq -(\psi(l_1) - \psi(l_2))$$

5. Автомодельное решение.

Две волны разрежения, зона вакуума



$$u_1 - u_2 \leq -(\psi(l_1) + \psi(l_2))$$

6. Анализ результатов. Сравнение с классической мелкой водой.

$$B = \frac{h_0}{H_s}$$

$$l = h + \frac{(A-1)}{2A} h^2 B + \frac{(A-1)(A-2)}{6A^2} h^3 B^2 + o(B^2), B \rightarrow 0$$

$$a^2 = h - \frac{(A-1)}{2A} h^2 B + \frac{(A^2-1)}{6A^2} h^3 B^2 + o(B^2), B \rightarrow 0$$

$$\varphi(h) = \frac{1}{2} h^2 + \frac{(A-1)}{6A} h^3 B + \frac{(A-1)(A-2)}{24A^2} h^4 B^2 + o(B^2), B \rightarrow 0$$

$$\psi(h) = 2 \cdot h^{\frac{1}{2}} + \frac{(A-1)}{6A} h^{\frac{3}{2}} B - \frac{(A-1)(19A-23)}{240A^2} h^{\frac{5}{2}} B^2 + o(B^2), B \rightarrow 0$$

6. Анализ результатов. Сравнение с классической мелкой водой.

- Уменьшилась область начальных условий, при которых реализуется конфигурация «две волны разрежения, зона вакуума».
- Начальные условия, при которых в случае классической мелкой воды реализуется конфигурация «две волны разрежения, зона вакуума» теперь реализуют конфигурацию «две волны разрежения».

$$\begin{cases} u_1 - u_2 \leq -2(\sqrt{h_1} + \sqrt{h_2}) \\ -2(\sqrt{h_1} + \sqrt{h_2}) - \frac{(A-1)}{6A} \left(h_1^{\frac{3}{2}} + h_2^{\frac{3}{2}} \right) B + o(B) \leq u_1 - u_2 \end{cases}$$

6. Анализ результатов. Сравнение с классической мелкой водой.

- Увеличилась область начальных условий, при которых реализуется конфигурация «волна разрежения, ударная волна».
- Начальные условия, при которых в случае классической мелкой воды реализуются конфигурация «две волны разрежения»

$$-2\left(\sqrt{h_1} - \sqrt{h_2}\right) - \frac{(A-1)}{6A}\left(h_1^{\frac{3}{2}} - h_2^{\frac{3}{2}}\right)B + o(B) \leq u_1 - u_2 \leq -2\left(\sqrt{h_1} - \sqrt{h_2}\right)$$

и конфигурация «две ударные волны»

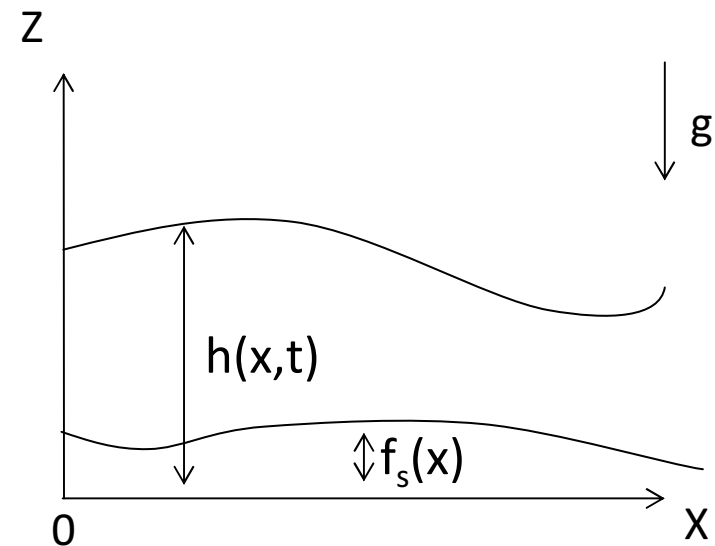
$$(h_1 - h_2) \sqrt{\frac{(h_1 + h_2)}{2h_1h_2}} \leq u_1 - u_2 \leq (h_1 - h_2) \sqrt{\frac{(h_1 + h_2)}{2h_1h_2}} \left(1 + \frac{(A-1)(h_1^3 - h_2^3)}{6A(h_1^2 - h_2^2)}B\right) + o(B)$$

теперь «волна разрежения, ударная волна»

7. Произвольная поверхность.

$$\begin{cases} \frac{\partial L}{\partial t} + L \frac{\partial u}{\partial x} + u \frac{\partial L}{\partial x} = 0 \\ \frac{\partial u}{\partial t} + u \frac{\partial u}{\partial x} + \frac{a^2}{L} \frac{\partial L}{\partial x} = -\frac{\partial f_s}{\partial x} \end{cases}$$

$$\begin{cases} du + d\psi = -\frac{df_s}{dx} dt, \frac{dx}{dt} = u + a \\ du - d\psi = -\frac{df_s}{dx} dt, \frac{dx}{dt} = u + a \end{cases}$$



7. Простые волны Римана.

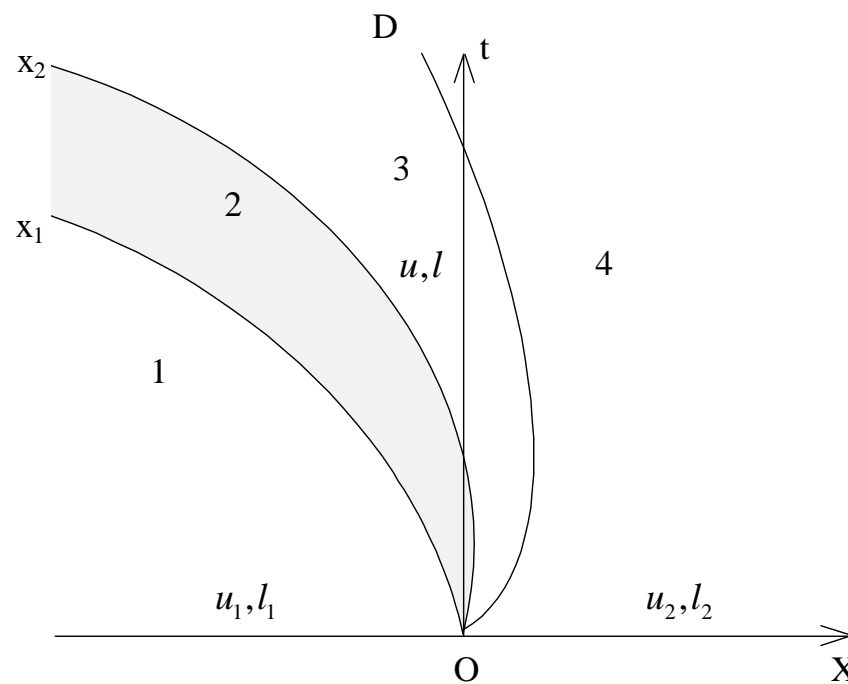
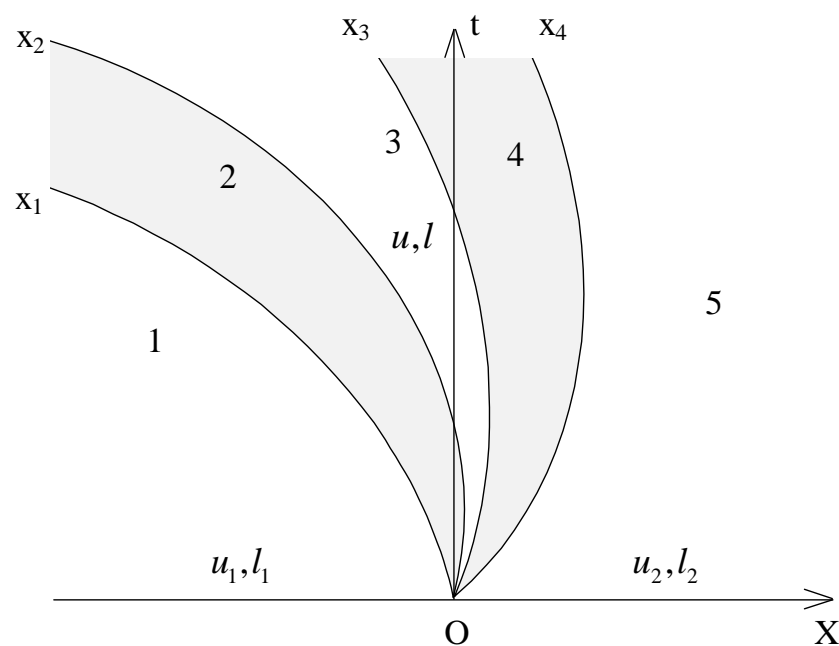
$$\left\{ \begin{array}{l} dr = -\frac{df_s}{dx} dt, \frac{dx}{dt} = u + a \\ ds = -\frac{df_s}{dx} dt, \frac{dx}{dt} = u - a \end{array} \right. \quad \left\{ \begin{array}{l} r = u + \psi \\ s = u - \psi \end{array} \right.$$

Простая волна – одно из уравнений выполняется тождественно во всей области

Откуда следует линейность $f_s(x) = kx + f_s(0)$

$$\left\{ \begin{array}{l} r(x(t), t) = -kt + r(x(0), 0) \\ s = -kt + s_0 \\ x(t) = -\frac{k}{2} \cdot t^2 + \frac{r(x(0), 0) + s_0 + 2a}{2} \cdot t + x(0) \\ a = \text{const} \end{array} \right. \quad \text{- Простая r-волна}$$

8. Задача распада Разрыва



9. Заключение

- Учет сжимаемости в мелкой воде приводит к улучшению предсказаний скорости распространения газового потока с примесью твердых частиц.
- Альтернатива многослойным моделям.
- Решение задачи распада разрыва позволяет использовать численные методы типа Годунова, без выделения разрывов.

Спасибо за внимание!

- ## Газ с твердыми частицами
- (Wallis, 1969) Течения газа с твердыми частицами можно моделировать идеальным псевдо-газом с приведенными значениями R, c_p, c_v
 1. Монодисперсная смесь, равномерное распределение частиц.
 2. Частицы не взаимодействуют. Давление смеси = давлению газа
 3. Газ и частицы в термическом равновесии

Газ с твердыми частицами

ρ – плотность псевдо-газа

ρ_g - плотность газа, ρ_P - плотность частиц

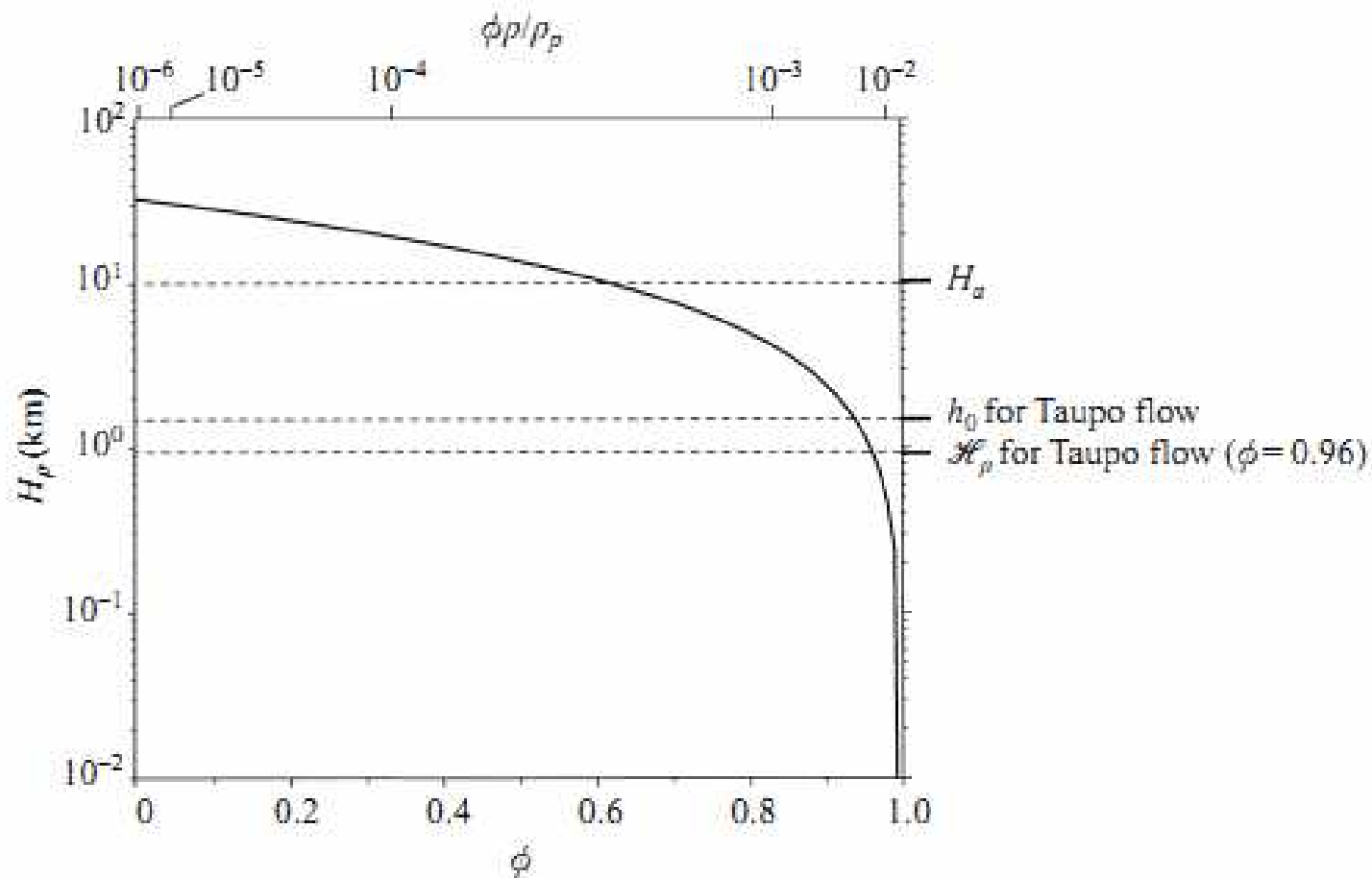
$$\frac{1}{\rho} = \frac{1 - \phi}{\rho_g} + \frac{\phi}{\rho_P} \quad \phi = \frac{m_P}{m}$$

$$\rho_P \geq \rho_g \quad \frac{V_P}{V} = \frac{\rho}{\rho_P} \phi \ll 1$$

$$\rho_P = 2000 \text{ kg} \cdot \text{m}^{-3}, \rho_g = 0.4 \text{ kg} \cdot \text{m}^{-3} (500 \text{ K}), \phi = 0,96 \quad (\text{Woods, 1995})$$

$$\text{Тогда } p = \rho_g RT = (1 - \phi) \frac{\rho}{\left(1 - \phi \frac{\rho}{\rho_P}\right)} RT = \rho R_m T \quad R_m = (1 - \phi) R$$

Газ с твердыми частицами



Атмосфера

